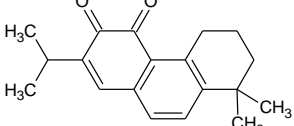
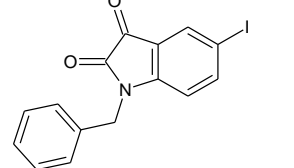
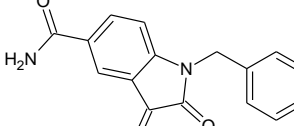
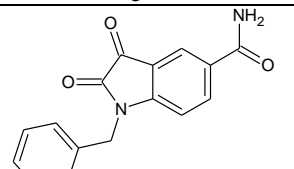
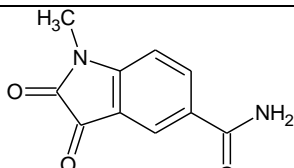
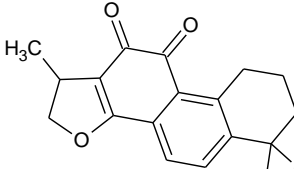
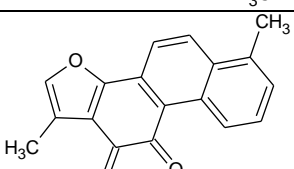
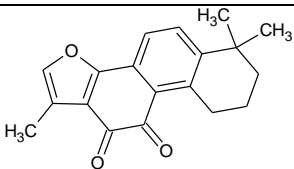
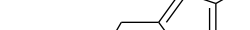
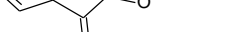
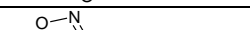
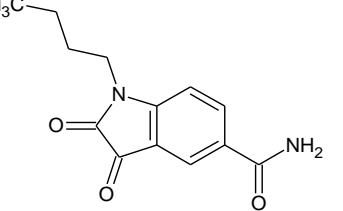
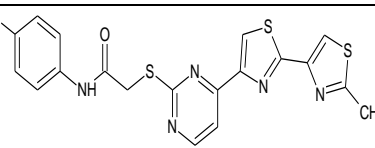
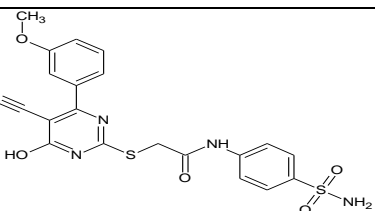
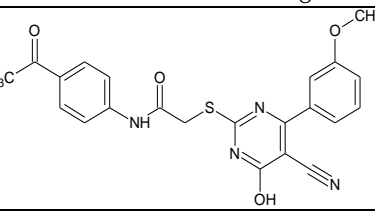
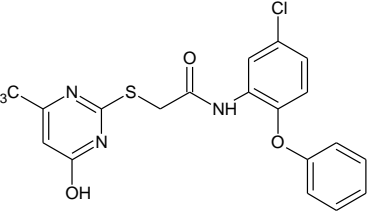
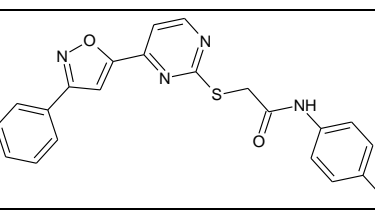
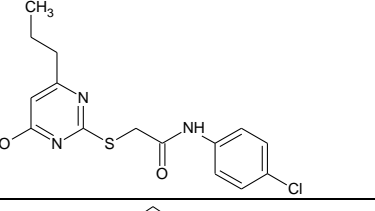
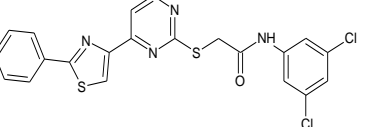


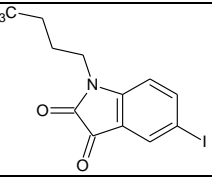
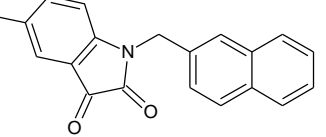
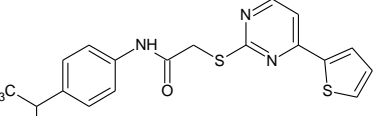
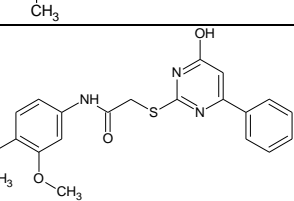
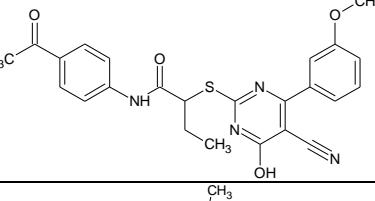
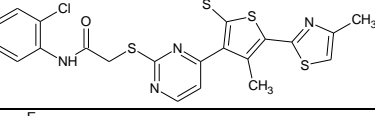
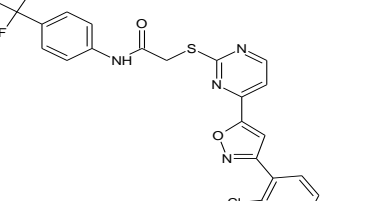
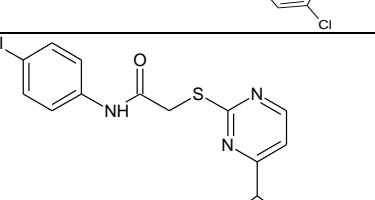
SUPPLEMENTARY MATERIAL

Supplementary Table 1: Structure, and Molecular Descriptors of 3C-like protease inhibitors

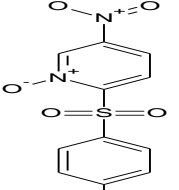
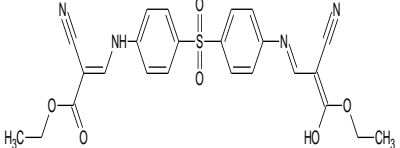
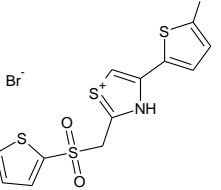
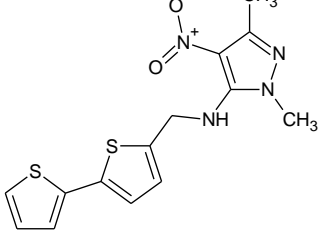
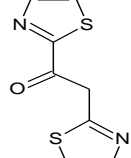
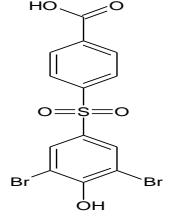
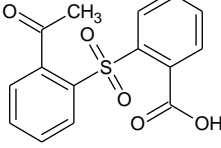
Comp No	Molecular structure	AATS8v	AATS3i	MATS6c	GATS8 e	BCUT p-1h	ZMIC 2	VE1_D
1		0.202	0.294	0.632	0.593	0.454	0.085	0.243
2		0.525	0.294	0.63	0.349	0.655	0.293	0.614
3		0.686	0.278	0.795	0.474	0.327	0.226	0.29
4		0.389	0.397	0.82	0.506	0.3	0.139	0.313
5		0	0.4	0.95	1	0.172	0.006	0.541
6		0.265	0.295	0.581	0.822	0.479	0.063	0.106
7		0.37	0	0.536	0.605	0.436	0.153	0.205
8		0.322	0.188	0.584	0.921	0.459	0.07	0.106

9		0.747	0.415	0.745	0.44	0.657	0.271	0.475
10		0.788	0.23	0.581	0.394	0.55	0.188	0.447
11		0.918	0.168	0.649	0.391	0.582	0.237	0.589
12		0.284	0.455	0.583	0.518	0.309	0.053	0.064
13		0.857	0.539	0.709	0.32	0.654	0.268	0.424
14		0.84	0.361	0.747	0.324	0.55	0.138	0.417
15		0.87	0.197	0.396	0.328	0.655	0.254	0.542
16		0.846	0.274	0.777	0.418	0.562	0.176	0.7
17		0.907	0.21	0.478	0.427	0.56	0.183	0.544

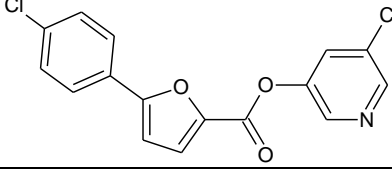
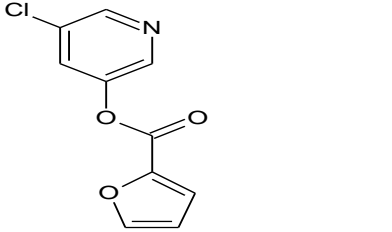
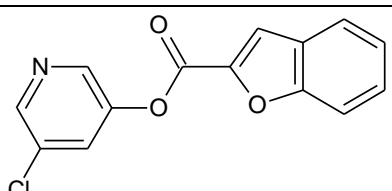
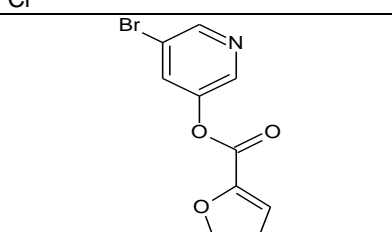
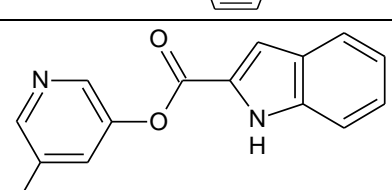
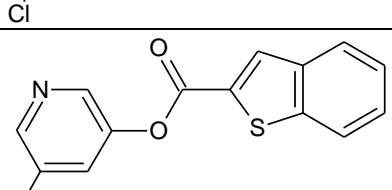
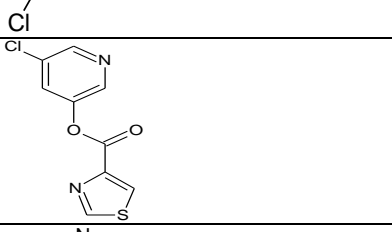
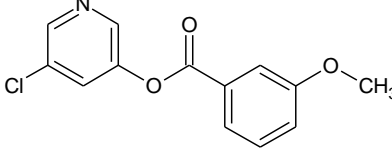
26		0.17	0.737	0.818	0.519	0.247	0.008	0.246
27		0.825	0.605	0.234	0.362	0.555	0.208	0.435
28		0.673	0.497	0.306	0.35	0.423	0.199	0.863
29		0.648	0.466	0.177	0.408	0.422	0.171	0.962
30		0.633	0.683	0.27	0.524	0.322	0.257	0.417
31		0.791	0.585	0.166	0.327	0.355	0.305	0.431
32		0.55	0.842	0	0.58	0.345	0.094	0.28
33		0.81	0.513	0.484	0.302	0.505	0.403	0.232

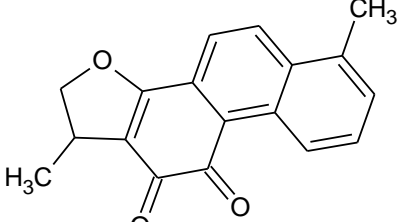
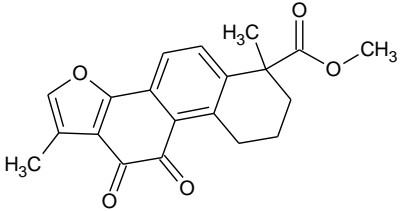
34		0.222	0.675	0.627	0.329	0.65	0.114	0.781
35		0.836	0.185	0.615	0.369	0.657	0.315	0.424
36		0.639	0.531	0.335	0.58	0.473	0.153	0.306
37		0.566	0.536	0.212	0.527	0.386	0.23	0.253
38		0.546	0.497	0.219	0.345	0.578	0.162	0.835
39		0.655	0.333	0.65	0.307	1	0.21	0.833
40		0.885	0.635	0.652	0.201	0.358	0.397	0.478
41		0.863	0.569	0.129	0.35	0.358	0.375	0.552

42		0.741	0.36	0.65	0.383	0.825	0.522	0.239
43		0.664	1	0.876	0.459	0.548	0.241	0.04
44		0.433	0.514	0.725	0.364	0.751	0.16	0.151
45		0.371	0.327	0.528	0.169	0.714	0.184	0.427
46		0.562	0.362	0.521	0.454	0.988	0.224	0.536
47		0.514	0.358	0.56	0.491	0.607	0.048	0.984
48		0.282	0.673	0.42	0.397	0.741	0.088	0.003

49		0.708	0.518	0.33	0.314	0.562	0.186	0.052
50		0.641	0.608	0.799	0.457	0.58	0.344	0
51		0.901	0.297	0.27	0.519	0.807	0.226	0.16
52		0.564	0.642	0.6	0.384	0.66	0.103	0.456
53		0.146	0.633	0.219	0	0.334	0.164	0.113
54		0.808	0.09	0.59	0.549	0.791	0.538	0.489
55		0.233	0.217	0.325	0.296	0.719	0.261	0

56		0.663	0.373	0.046	0.374	0.546	0.475	0
57		0.506	0.719	0.691	0.305	0.583	0.596	0
58		0.819	0.842	0.193	0.178	0.262	0.288	0.325
59		1	0.312	0.824	0.47	0.572	1	0
60		0.44	0.55	1	0.139	0.583	0.152	0.201
61		0.701	0.422	0.518	0.445	0.648	0.362	0.219
62		0.294	0.4	0.455	0.146	0.708	0.211	0.243
63		0.359	0.225	0.466	0.671	0.465	0.043	0.151

64		0.895	0.483	0.91	0.52	0.15	0.167	0.023
65		0.477	0.737	0.698	0.263	0	0.008	0.026
66		0.952	0.506	0.688	0.172	0.043	0.069	0.265
67		0.547	0.653	0.716	0.198	0.192	0.08	0.026
68		0.898	0.564	0.718	0.208	0.106	0.056	0.265
69		0.964	0.272	0.724	0.154	0.453	0.096	0.265
70		0.767	0.666	0.687	0.268	0.105	0.052	0.026
71		0.656	0.466	0.583	0.327	0.088	0.022	0.08

72		0.31	0.17	0.52	0.531	0.458	0.084	0.205
73		0.374	0.182	0.377	0.347	0.494	0.065	0.209